

УДК 644.1+004,9:517.9

Досліджено замкнуті системи з дробовим порядком астатизму від 0,3 до 2. Знайдено параметри дробових пропорційно-інтегральних та інтегрально-диференційних регуляторів для забезпечення оптимальних динамічних та статичних характеристик

Ключові слова: астатична система, дробовий інтеграл, дробова похідна

Исследованы замкнутые системы с дробным порядком астатизма от 0,3 до 2. Найденны соотношения параметров дробных пропорционально-интегрирующих и интегрально-дифференцирующих регуляторов, обеспечивающих оптимальные динамические и статические характеристики систем

Ключевые слова: астатическая система, дробное интегрирование, дробное дифференцирование

The research of close-loop systems with fractional integral-differential regulators with order from 0,3 to 2 is carried out. The parameters of regulators for optimal dynamic and static control are defined

Keywords: astatic system, fractional integral, fractional differential

СИНТЕЗ СИСТЕМ УПРАВЛЕНИЯ ТЕХНОЛОГИЧЕСКИМИ ПРОЦЕССАМИ С ДРОБНЫМИ ИНТЕГРАЛЬНО-ДИФФЕРЕНЦИРУЮЩИМИ СВОЙСТВАМИ

В. В. Бушер

Кандидат технических наук, доцент
Кафедра электромеханических систем с компьютерным управлением
Одесский национальный политехнический университет
пр. Шевченко, 1, г. Одесса, Украина, 65044
Контактный тел.: 050-390-88-09
E-mail: victor.v.bousher@mail.ru

1. Введение, анализ литературных данных и постановка проблемы

Объекты управления во многих технологических процессах описываются системой уравнений для расчета сжимаемых течений вязкого теплопроводного газа [1], основанных на законах сохранения массы, импульса и полной энергии. В полном виде или с отброшенными в зависимости от задачи некоторыми членами такая система позволяет получать пространственные и временные характеристики искомых координат и описывать процессы диффузии, конвекции, переноса тепла и масс турбулентными и ламинарными потоками. Решение уравнений в пространственных задачах выполняется методами конечных элементов, объемов, пространственно-сеточными методами.

Однако при синтезе систем управления сигналы обратных связей по заданным координатам поступают от локальных датчиков, размещенных в определенной точке. Тогда по отношению к этому датчику задача приводится к одномерному случаю. При этом в уравнениях может быть выделена общая составляющая, представляющая собой второй закон Фика, являющийся универсальным законом для описания концентрации, температуры, распределения частиц, перемешивающихся газов, жидкостей:

$$\frac{\partial f(x,t)}{\partial t} = \chi \frac{\partial^2 f(x,t)}{\partial x^2} \tag{1}$$

Одним из способов решения уравнения (1) является метод расщепления (факторизации) [2], в соответствии с которым получаем следующее уравнение:

$$\begin{aligned} \left(\frac{\partial}{\partial t} - \chi \frac{\partial^2}{\partial x^2} \right) f(x,t) &= \\ = \left(\sqrt{\frac{\partial}{\partial t}} - \sqrt{\chi} \frac{\partial}{\partial x} \right) \left(\sqrt{\frac{\partial}{\partial t}} + \sqrt{\chi} \frac{\partial}{\partial x} \right) f(x,t) &= 0. \end{aligned} \tag{2}$$

Для определения, например, такого закона подвода тепла Q(t) из локальной точки теплопроводящей среды, чтобы обеспечить требуемое изменение температуры θ(t) из (2), приходим к соотношению

$$Q(t) = T^\mu \sqrt{\frac{\partial}{\partial t}} \theta(t) = T^\mu D^\mu \theta(t), \tag{3}$$

в котором правая часть является производной D^μ порядка μ = 0,5, T – формальная постоянная времени, зависящая от свойств среды и расстояния от источника тепла.

Полученное дифференциальное уравнение является линейным, что позволяет применить к нему преобразование Лапласа. Решая задачу поиска закона изменения температуры при работе источника тепла, в операторной форме получаем уравнение дробно-интегрирующего звена

$$\theta(p) = \frac{1}{T^{\mu} p^{\mu}} I^{\mu} Q(p). \quad (4)$$

Определяя изменение температуры в исследуемой области по отношению к температуре окружающей среды, с учетом теплообмена по закону Ньютона получаем уравнение

$$\theta(p) \left(\frac{a}{\lambda} T^{\mu} p^{\mu} + 1 \right) = \frac{\lambda}{a} Q(p) + \theta_{\text{ex}}(p), \quad (5)$$

где θ_{ex} – температура окружающей среды, a – коэффициент теплоотдачи, которое окончательно может быть охарактеризовано, как описание дробно-аперидического звена:

$$\theta(p) = \frac{\lambda/a}{(T^{\mu} p^{\mu} + 1)} Q(p) + \frac{1}{(T^{\mu} p^{\mu} + 1)} \theta_{\text{ex}}(p), \quad (6)$$

С учетом теплоемкости источника, характеризующей постоянной времени T_q , уравнение (6) может быть преобразовано в уравнение дробно-аперидического звена порядка $1+\mu$ следующего вида:

$$\theta(p) = \frac{\lambda/a}{(T_q T^{\mu} p^{1+\mu} + T^{\mu} p^{\mu} + 1)} Q(p) + \frac{1}{(T^{\mu} p^{\mu} + 1)} \theta_{\text{ex}}(p). \quad (7)$$

Если в качестве источника тепла (или холода) выступает конденсирующийся или кипящий фреон во всем объеме внутренней полости конденсатора или испарителя, то капли жидкости и пузырьки газа превращают среду теплообмена в структуру, которую можно охарактеризовать как фрактальную. В такой среде наблюдаются эффекты аномальной суб- и супердиффузии [3], при описании которой порядок дифференциальных уравнений в общем случае отличается от 0,5.

В иных процессах, например, в электрохимических системах, в которых из-за пористой структуры электродов имеет место нестационарная диффузия, сила тока зависит от дробной производной напряжения [4]. В суперконденсаторах, которые в настоящее время получают распространение из-за возможности быстрого заряда и разряда в системах рекуперации кинетической энергии электромобилей (KERS), накопление и отдача энергии описывается сочетанием интегрирующих и дробно-интегрирующих свойств [5], что отражает эквивалентная передаточная функция вида:

$$H(p) = \frac{U_c(p)}{I_c(p)} = R_c + \frac{1}{Cp} + \frac{1}{Bp^{\mu}}, \quad (8)$$

где U_c, I_c – напряжение и ток суперконденсатора, $R_c, [Ohm]$; $C, [F]$ – внутреннее активное сопротивление и емкость суперконденсатора, $B, [s^{\mu} / Ohm]$ – коэффициент, обусловленный диффузией.

Таким образом, в ряде технологических процессов может быть выделен класс объектов с дробно-интегрирующими, дробно-дифференцирующими или дробно-аперидическими свойствами. Использование для таких объектов управления классических методов исследования может приводить к существенным ошибкам при идентификации параметров и, как следствие, к несоответствию динамических и статических

показателей систем расчетным. Однако использование аппарата дробного интегро-дифференцирования до недавнего времени было ограничено из-за низкого быстродействия и недостаточных объемов оперативной памяти микропроцессоров, так как даже в некоторых частных случаях решения дробных интегрально-дифференциальных уравнений описывается функциями Миттаг-Леффлера, Работнова-Хартли, являющимися бесконечными рядами [6]. Поэтому использовались упрощенные приближенные модели в виде рекуррентных ИНС или аналоговых четырехполюсников [4].

2. Цель и задачи исследования

Развитие микропроцессорной техники позволяет сейчас в полной мере использовать возможности дробного интегрирования и дифференцирования для синтеза систем с заданными показателями качества.

Целью исследования является синтез регуляторов в системах управления технологическими процессами с дробными интегрально-дифференцирующими свойствами для обеспечения оптимальных динамических и статических показателей.

3. Материалы исследования

Проведем исследование замкнутых систем с заданным дробным порядком астатизма μ , разомкнутый контур которых описывается передаточной функцией

$$H_{\text{опт}}^{\mu}(p) = \frac{1}{a T_v^{\mu} p^{\mu}} \cdot \frac{1}{T_v p + 1}, \quad 0 < \mu \leq 1, \quad (9)$$

где a – параметр настройки, T_v – некомпенсируемая малая постоянная времени объекта управления.

Передаточной функции (9) соответствуют логарифмические частотные характеристики, вычисляемые по формулам:

$$L = -20 \lg(a T_v^{\mu} \Omega^{\mu}) - 20 \lg \sqrt{T_v^2 \Omega^2 + 1}, \quad (10)$$

$$\varphi = -\mu \frac{\pi}{2} - \arctg(T_v \Omega). \quad (11)$$

Сравнение ЛАЧХ и ЛФЧХ разомкнутого контура с дробным порядком астатизма и систем с настройкой на модульный (МО) или симметричный оптимум (СО) при одинаковых частотах среза показывает, что запас устойчивости по фазе при уменьшении μ возрастает на величину $(1-\mu) \frac{\pi}{2}$. Это дает возможность улучшить динамические показатели системы.

При различных значениях μ и $\Delta\varphi$ можно определить соотношение частоты среза и некомпенсируемой постоянной времени $T_v \Omega_c$:

$$T_v \Omega_c = \operatorname{tg} \left(\pi - \Delta\varphi - \mu \frac{\pi}{2} \right) \quad (12)$$

и из (10) получить соответствующее значение a :

$$a = \frac{1}{(T_v \Omega_c)^\mu} \sqrt{\frac{1}{(T_v \Omega_c)^2 + 1}} = \frac{1}{\left(\operatorname{tg}\left(\pi - \Delta\phi - \mu \frac{\pi}{2}\right)\right)^\mu} \sqrt{\frac{1}{\left(\operatorname{tg}\left(\pi - \Delta\phi - \mu \frac{\pi}{2}\right)\right)^2 + 1}} \quad (13)$$

На рис. 1 показаны графики зависимостей $a=f(\Delta\phi, \mu)$ и отмечена точка, соответствующая настройке на МО.

Учет малой некомпенсированной постоянной времени T_v крайне осложняет аналитические исследования в общем виде, поэтому переходные функции получены численными методами. В частности, на рис. 2 приведено семейство графиков переходных функций при $\Delta\phi = 65,5^\circ$.

Видно, что системы с $\mu \geq 0,4$ и рассчитанным по формуле (13) a характеризуются перерегулированием, не превышающим перерегулирование в системе с $\mu=1$, но их быстродействие повышается за счет увеличения частоты среза.

Анализ переходных процессов позволил построить номограммы

для выбора значения a по заданным значениям порядка астатизма $0,3 \leq \mu \leq 1$, перерегулирования δ или времени достижения первого максимума t_{\max} (характеризующего быстродействие системы) (рис. 3). Также выявлены полезные эмпирические зависимости, по которым можно приближенно рассчитать значение a в зависимости от μ , δ и t_{\max} :

$$\lg a \approx 1,958\mu - 1,584 + (-20,191\mu^2 + 34,744\mu - 17,118)\delta, \quad (14)$$

$$a \approx (-0,2\mu + 0,3) \left(\frac{t_{\max}}{T_v}\right)^\mu. \quad (15)$$

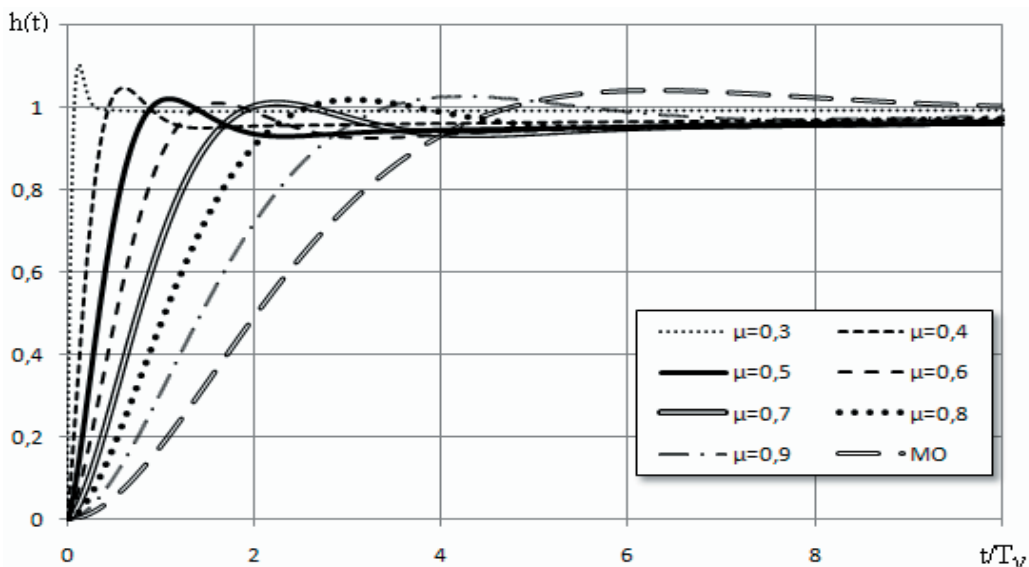


Рис. 2. Графики переходных функций при $\mu \leq 1$, $\Delta\phi = 65,5^\circ$

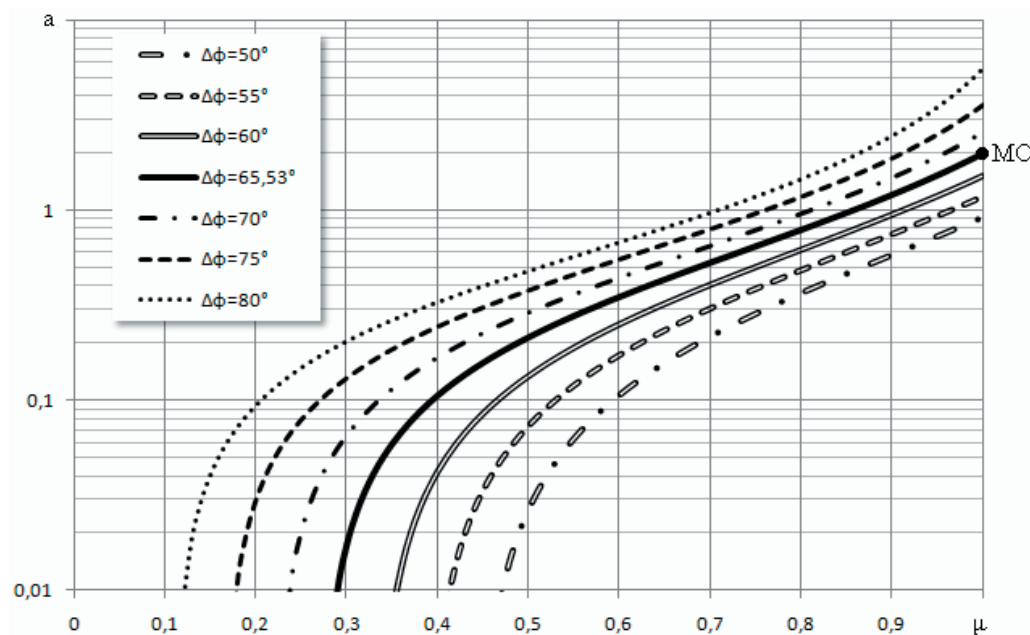


Рис. 1. Зависимости $a=f(\Delta\phi, \mu)$

Так как система с $\mu < 1$ характеризуется отсутствием позиционной ошибки, постоянной ошибкой при подаче на вход «выпуклого» сигнала вида t^μ ($\mu < 1$), но возрастающей скоростной ошибкой, то для повышения порядка астатизма включим в состав системы пропорционально-интегрирующее (ПИ) звено и представим передаточную функцию разомкнутого контура в виде:

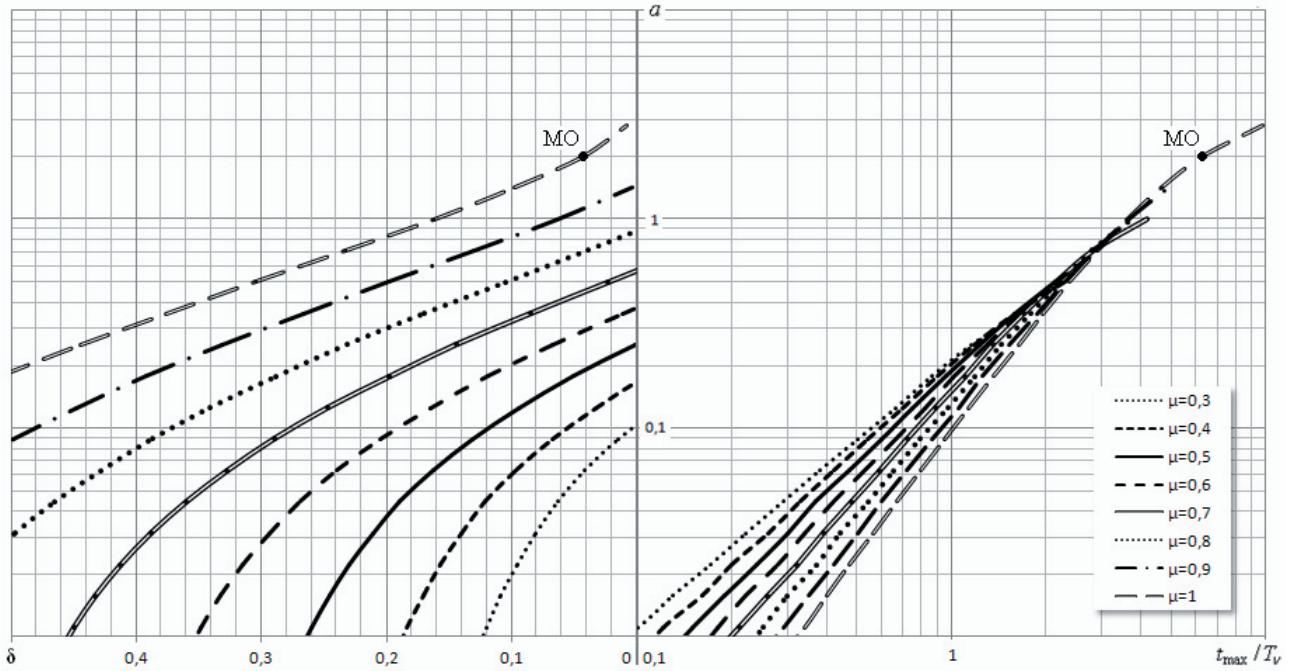


Рис. 3. Зависимости $a=f(\mu, \delta)$ и $a=f(\mu, t_{max})$

$$H_{opt}^{1+\mu}(p) = \left(1 + \frac{1}{bT_v p}\right) \frac{1}{aT_v^{\mu-1} p^{\mu-1}} \cdot \frac{1}{T_v p + 1} = \frac{bT_v p + 1}{baT_v^{\mu} p^{\mu}} \cdot \frac{1}{T_v p + 1}, \quad 1 < \mu < 2, \quad b > 1, \quad (16)$$

где b – параметр ПИ-звена.

У такой системы позиционная и скоростная статическая ошибки отсутствуют. Постоянная по величине ошибка возникает лишь при подаче на вход «вогнутого» сигнала вида t^{μ} при $\mu > 1$.

Амплитудно-частотные характеристики системы с передаточной функцией (16) рассчитываются по выражениям:

$$L = -20 \lg(baT_v^{\mu} \Omega^{\mu}) + 20 \lg \sqrt{b^2 T_v^2 \Omega^2 + 1} - 20 \lg \sqrt{T_v^2 \Omega^2 + 1}, \quad (17)$$

$$\begin{aligned} \varphi = & -\mu \frac{\pi}{2} - \arctg(T_v \Omega) + \\ & + \arctg(bT_v \Omega) = -\mu \frac{\pi}{2} + \arctg \frac{(bT_v \Omega - T_v \Omega)}{1 + bT_v^2 \Omega^2}. \end{aligned} \quad (18)$$

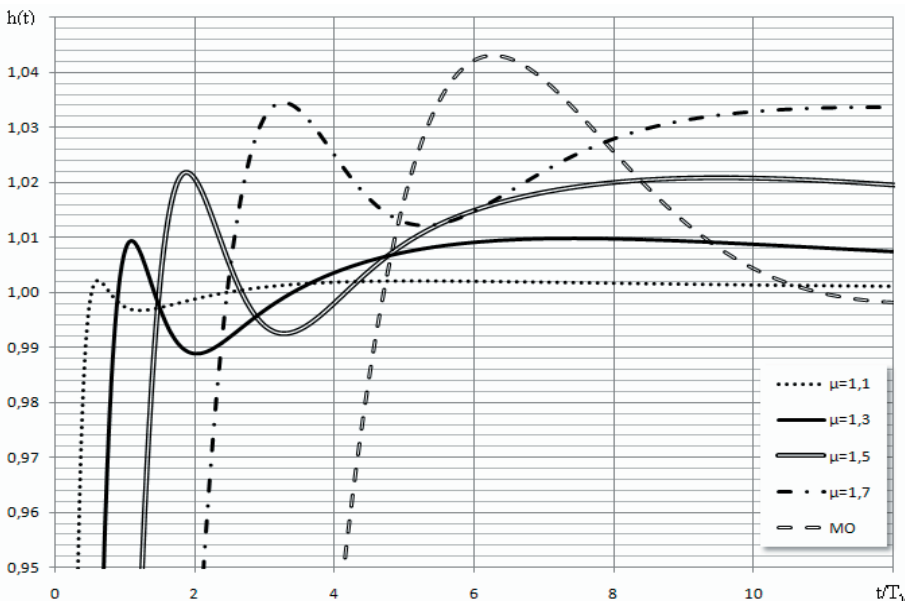


Рис. 4. Переходные характеристики при оптимальном соотношении μ, a, b

Функция (18) при $T_v \Omega = \frac{1}{\sqrt{b}}$ характеризуется экстремумом

$$\begin{aligned} \varphi_{max} = & -\mu \frac{\pi}{2} - \\ & - \arctg \left(\frac{1}{\sqrt{b}} \right) + \arctg(\sqrt{b}). \end{aligned} \quad (19)$$

Для получения частоты среза $T_v \Omega_{L=0} = \frac{1}{\sqrt{b}}$ необходимо выбрать

$$a = \sqrt{b^{\mu-1}}. \quad (20)$$

Но эта точка лишь для $\mu=2$ является оптимальной.

Анализ показывает, что переходная функция системы (16), представляющая собой

свертку функции Работнова-Хартли и затухающих гармонических колебаний [6], характеризуется несколькими максимумами. И для каждого μ существует некоторое соотношение a и b , при котором первый максимум равен второму, быстродействие максимальное, а перерегулирование достигает минимума.

На рис. 4 показано семейство некоторых переходных функций, соответствующих такому условию в увеличенном по оси ординат масштабе, сопоставленных с настройкой на МО.

В табл. 1 приведено несколько сочетаний значений μ, a, b , удовлетворяющих этому условию, и соответствующие значения $\delta, t_{max1}, t_{max2}$, что позволяет выбрать необходимые параметры системы.

Приближенно для произвольного $1,1 \leq \mu \leq 1,9$ значения a и b могут быть вычислены по эмпирическим формулам:

$$a \approx -0,0384 - \frac{0,33026}{\ln(\mu)} - \frac{0,01351}{\ln(\mu)^2}, \tag{21}$$

$$b = 12,5a.$$

Показатели переходной характеристики также определяются по приближенным зависимостям:

$$t_{max1} \approx 0,368\mu^{4,3}, \tag{22}$$

$$t_{max2} \approx 11,2\mu - 7,2, \tag{23}$$

$$\delta \approx 0,0262\mu^2 - 0,0191\mu - 0,092. \tag{24}$$

Из (22) – (24) легко могут быть получены обратные зависимости и по требуемым показателям переходного процесса найдено необходимое значение μ и далее по (21) определены a и b .

Для обеспечения выбранных настроек регулятор, включенный последовательно с объектом управления, должен иметь передаточную функцию, определяемую из соотношения

$$H_{REG}(p) = \frac{H_{OIP}(p)}{H_{OY}(p)}, \tag{25}$$

и в его состав могут входить как дробные интегрирующие звенья, так и дробные дифференцирующие звенья.

Передаточные функции регуляторов для некоторых типовых объектов управления при настройках контура с различным порядком астатизма приведены в табл. 2.

Видно, что в состав регуляторов могут входить как дробные интегрирующие звенья, так и дробные дифференцирующие звенья. Очевидно также, что предложенные методы синтеза замкнутого контура могут быть применены для объектов управления как с дробным, так и целочисленным порядком дифференциальных уравнений.

Для реализации вычислений дробных интегральных составляющих сигнала регулятора в микропроцессорной системе с периодом квантования

Таблица 1

Оптимальные соотношения параметров настройки

μ	1,1	1,2	1,3	1,4	1,5	1,6	1,7	1,8	1,9
a	0,113	0,160	0,223	0,302	0,410	0,565	0,790	1,160	1,880
b	1,413	2,000	2,788	3,775	5,125	7,063	9,875	14,500	23,500
δ	0,002	0,005	0,011	0,016	0,022	0,027	0,034	0,041	0,049
t_{max1} / T_v	0,64	0,83	1,11	1,45	1,89	2,48	3,28	4,58	7,61
t_{max2} / T_v	5,15	6,26	7,44	8,45	9,53	10,72	11,72	12,84	14,30

Таблица 2

Передаточные функции регуляторов

$H_{OY}(p)$	$H_{REG}(p), 0 < \mu \leq 1$	$H_{REG}(p), 1 < \mu \leq 2$
$\frac{k_{oy}}{T_{oy} p^{\mu_{oy}}}$	$\frac{1}{a T_v^{\mu}} \frac{1}{k_{oy}} \frac{T_{oy}}{p^{\mu - \mu_{oy}}}$	$\frac{1}{a T_v^{\mu - 1}} \left(1 + \frac{1}{b T_v p} \right) \frac{1}{k_{oy}} \frac{T_{oy}}{p^{\mu - 1 - \mu_{oy}}}$
$k_{oy} \left(1 + \frac{1}{T_{oy} p^{\mu_{oy}}} \right)$	$\frac{1}{a T_v^{\mu}} \frac{1}{k_{oy} p^{\mu - \mu_{oy}}} \left(\frac{T_{oy} p^{\mu_{oy}}}{T_{oy} p^{\mu_{oy}} p^{\mu_{oy}} + 1} \right)$	$\frac{1}{a T_v^{\mu - 1}} \left(1 + \frac{1}{b T_v p} \right) \frac{1}{k_{oy} p^{\mu - 1 - \mu_{oy}}} \left(\frac{T_{oy} p^{\mu_{oy}}}{T_{oy} p^{\mu_{oy}} + 1} \right)$
$\frac{k_{oy}}{T_{oy} p^{\mu_{oy}} + 1}$	$\frac{1}{a T_v^{\mu}} \frac{1}{k_{oy}} \left(\frac{T_{oy}}{p^{\mu - \mu_{oy}}} + \frac{1}{p^{\mu}} \right)$	$\frac{1}{a T_v^{\mu - 1}} \left(1 + \frac{1}{b T_v p} \right) \frac{1}{k_{oy}} \left(\frac{T_{oy}}{p^{\mu - 1 - \mu_{oy}}} + \frac{1}{p^{\mu - 1}} \right)$

Δt целесообразно использовать модифицированную дискретную форму Римана-Лиувилля [7],

$$I^\mu f_i = \sum_{j=1}^i f_{i-j+1} k_j^\mu, \quad (26)$$

где k_j^μ – постоянные коэффициенты, вычисляемые по формуле

$$k_j^\mu = \frac{\Delta t^\mu (j^{\mu+1} - (j-1)^{\mu+1})}{\Gamma(2+\mu)} - \sum_{n=1}^{j-1} k_n^\mu. \quad (27)$$

Так как количество слагаемых в реальных системах ограничено объемом запоминающего устройства микропроцессора, то в системе с $\mu < 1$ возникает дополнительная статическая ошибка. При $\mu > 1$ ПИ-звено $1 + \frac{1}{bT_{\nu,p}}$ компенсирует эту ошибку. Поэтому выбор систем с $\mu > 1$ является предпочтительным.

Сигнал дробных дифференцирующих звеньев может вычисляться также с применением формулы (26) на основании зависимости

$$D^\mu f_i = \frac{d}{dt} I^{1-\mu} f_i = \frac{I^{1-\mu} f_i - I^{1-\mu} f_{i-1}}{\Delta t}. \quad (28)$$

4. Выводы

Таким образом, на основании анализа частотных характеристик и переходных процессов систем с дробным порядком астатизма предложены методы синтеза регуляторов как для систем с $\mu < 1$, так и для систем с $1 < \mu < 2$. Регуляторы, передаточные функции которых определяются по таблице или в общем случае по , а параметры выбраны в соответствии с предложенными номограммами и расчетными зависимостями, обеспечивают ограничение перерегулирования на заданном уровне и быстродействие выше, чем у систем с целочисленным порядком астатизма.

Литература

1. Бурого, Н.Г. Вычислительная механика / Н.Г. Бурого. – М, 2005. – 247 с.
2. Учайкин, В.В. Дробно-дифференциальная модель динамической памяти / В.В. Учайкин // Математика и механика. – 2001. – 14 с.
3. Uchaikin, V.V. Anomalous Diffusion and Fractional Stable Distributions / V.V. Uchaikin // Journal of Experimental and Theoretical Physics. – 2003, No. 4. – p.810-825.
4. Гильмутдинов, А.Х. Дробные операторы: критерии синтеза и реализация / А.Ч. Гильмутдинов, П.А. Ушаков, М.М. Гильметдинов // Нелинейный мир. – 2008, №8. – С.452–463.
5. Бушер, В.В. Энергетические показатели и параметры суперконденсаторов в динамических режимах / Бушер В.В., Мартынюк В.В., Найденко Е.В. // Вимірювальна та обчислювальна техніка в технологічних процесах. – Хмельницький, 2012 – №1. – С.44-50.
6. Shantanu, D. Functional Fractional Calculus for System Identification and Controls. / Shantanu Das // Springer-Verlag Berlin Heidelberg. – 2008. – 240 p.
7. Busher, V. Modeling of supercapacitors with fractionally integrated section in SIMULINK. / V.V. Busher // Ел.-техн. та комп. системи. – К.: Техніка. №04(80). – 2011. – С.89–92.